

NS-398 对肝细胞癌 VEGF、MMP-9 表达的调节

彭利¹, 徐卓¹, 张萌¹, 王顺祥¹, 唐瑞峰¹, 何宏涛¹, 左连富²

Regulation of NS-398 on Expressions of VEGF and MMP-9 in Hepatocellular Carcinoma SMMC-7721 Cell Lines

PENGLI¹, XU Zhuo¹, ZHANG Meng¹, WANG Shun-xiang¹, TANG Rui-feng¹, HE Hong-tao¹, ZUO Lian-fu²

1. Department of Hepatobiliary Surgery, Fourth Hospital of Hebei Medical University, Shijiazhuang 050011; 2. Hebei Cancer Institute

Abstract: **Objective** To explore the role of NS-398 in angiogenesis and invasion in hepatocellular carcinoma. **Methods** For dose-dependent experiments, media containing various concentrations of NS-398 (0, 25, 50, 75 and 100 μmol/L) were used. For time course experiments, media containing various concentrations of NS-398 were used, and the cells were harvested daily for 3 days. The expression of VEGF and MMP-9 in SMMC-7721 cells were determined by RT-PCR and flow cytometry method by the treatment with NS-398. **Results** NS-398 significantly inhibited cell proliferation in both time-dependent and dose-dependent manner. Compared with control group, NS-398 can inhibit COX-2, VEGF and MMP-9 expression in SMMC-7721 cells in a dose and time-dependent. **Conclusion** This study suggested that NS-398 inhibited the expression of VEGF and MMP-9 mRNA and protein in SMMC-7721 cells.

Key words: Hepatocellular Carcinoma; NS-398; VEGF; MMP-9

摘要: **目的** 探讨 NS-398 对肝细胞癌血管生成和侵袭的调节作用。 **方法** NS-398 取 0、25、50、75、100 μmol/L 5 个浓度组, 每个浓度组选取 24h、48h、72h 三个作用时间点进行检测。采用 RT-PCR 和流式细胞技术, 观察 NS-398 对人肝癌 SMMC-7721 细胞株 VEGF、MMP-9 表达的影响。 **结果** NS-398 对 SMMC-7721 细胞有明显的生长抑制作用。与对照组相比, NS-398 能显著抑制 SMMC-7721 细胞 COX-2、VEGF、MMP-9 基因和蛋白表达, 并呈显著的剂量和时间依赖性关系 ($P < 0.001$)。 **结论** NS-398 能显著抑制 SMMC-7721 肝细胞癌中 VEGF、MMP-9 mRNA 和蛋白的表达。

关键词: 肝细胞癌; NS-398; 血管内皮生长因子; MMP-9

中图分类号: R73-76; R735.7 文献标识码: A 文章编号: 1000-8578(2006)12-0859-03

0 引言

环氧合酶-2 (Cyclooxygenase-2, COX-2) 不但与肿瘤血管生成有关^[1], 还可通过改变肿瘤细胞的侵袭性和粘附性来抑制肿瘤生长^[2]。我们以前实验表明肝细胞癌组织中 COX-2 与 VEGF、MMP-9 蛋白表达和肿瘤微血管密度 (Microvessel density, MVD) 之间呈正相关^[3], 本实验研究 COX-2 特异性抑制剂——NS-398 对肝癌 SMMC-7721 细胞株 VEGF、MMP-9 表达的影响, 初步探讨 NS-398 对肝细胞癌血管生成和侵袭的作用。

1 材料与方法

1.1 细胞培养和药物干预方案

收稿日期: 2005-10-19; 修回日期: 2006-01-05
基金项目: 河北省科技攻关计划项目 (04276198)
作者单位: 1. 050011 石家庄, 河北医科大学第四医院肝胆外科; 2. 河北省肿瘤研究所
作者简介: 彭利 (1972-), 男, 博士, 副主任医师, 主要从事肝胆胰肿瘤基础及临床研究

SMMC-7721 细胞分别用含 10% 胎牛血清的 RPMI 1640 培养液在含 5% CO₂ 37℃ 培养箱中培养。培养液中分别含有青霉素、链霉素 100 U/ml。将对数生长期的细胞接种于 96 孔培养板, 待细胞贴壁后加入 NS-398。NS-398 取 0、25、50、75、100 μmol/L 5 个浓度组, 每个浓度组选取 24h、48h、72h 三个时间点。每个实验组重复 6 孔。

1.2 主要试剂

NS-398 购自 sigma 公司。一抗山羊抗人 COX-2 多克隆抗体, 鼠抗人 VEGF 单克隆抗体, 兔抗人 MMP-9 单克隆抗体均为 Santa Cruz 产品, Trizol 试剂 (美国 Gibco BRL 公司)。PCR 仪 (美国 PE 公司 PE-9600 型), 流式细胞仪 (美国 B-C 公司 Epics-XL 型)。

1.3 RT-PCR 检测 COX-2、VEGF、MMP-9 mRNA 的表达

按照 Trizol 试剂说明书逐步提取细胞总 mRNA。COX-2 反应条件为: 94℃ 变性 30s; 63℃ 复性

30s;72 延伸 30s。VEGF 反应条件为: 94 变性 30s;63 复性 30s;72 延伸 30s。MMP-9 反应条件为: 94 变性 30s; 63 复性 30s; 72 延伸 30s。进行 35 个循环后进一步延伸 72 5min。COX-2 引物序列: 上游为 5'-AAT GAG TAC CGA AAA TTC-3', 下游为 5'-CAT CTA GTC CGG AGC GGG AAG-3', 扩增片段大小为 420bp。VEGF 引物序列: 上游为 5'-TTG CCT TGC TGC TCT ACC TC-3', 下游为 5'-AAA TGC TTT CTC CGC TCT GA-3', 扩增片段大小为 418 bp。MMP-9 引物序列: 上游: 5'-TTG CCT TGC TGC TCT ACC TC-3', 下游: 5'-AAA TGC TTT CTC CGC TCT GA-3', 扩增片段大小为 120bp。所有引物均由上海生工公司合成, 选取 β -actin 为内参照, 取 10 μ l PCR 产物用 1.2% 的普通琼脂糖凝胶电泳后, 凝胶电泳成像系统观测成像情况。

1.4 流式细胞仪定量检测 COX-2、VEGF、MMP-9 的表达

采用间接免疫荧光标记方法。每份样品加入第一和第二抗体工作液各 100 μ l。设有 PBS 代替一抗和二抗的阴性对照, 只加一抗和二抗的阳性对照。以荧光指数 (FI) 表示相对含量, $FI = (\text{样品蛋白表达荧光强度} - \text{正常样品的荧光强度}) / \text{正常样品的荧光强度}$ 。

1.5 MTT 法检测细胞增殖抑制情况

在 96 孔培养板中分别加入 25、50、75、100 μ mol/L NS-398, 继续孵育 24、48、72h 后每孔加入 MTT 溶液 (5mg/ml) 20 μ l, 37 继续孵育 4~5h, 吸弃孔内培养上清液。每孔加入 150 μ l DMSO, 振荡 10min。用酶联免疫检测仪测定 490nm 处吸光度 (A)。每组取 3 次实验平均值, 计算细胞抑瘤率: 抑瘤率 = (对照组 A - 实验组 A) / (对照组 A - 空白组 A) \times 100%。

1.6 统计学检验

应用 SPSS 10.0 统计软件进行统计学分析, 组间显著性检验采用析因设计方差分析, $P < 0.05$ 为差异有显著性。

2 结果

2.1 NS-398 对 SMMC-7721 细胞生长的影响

MTT 法测定结果显示, NS-398 对 SMMC-7721 细胞有明显的抑制生长作用, 并呈剂量依赖性和时间依赖性 ($P < 0.001$), 见图 1。

2.2 NS-398 对 SMMC-7721 细胞 COX-2 表达的影响

RT-PCR 和 FCM 结果表明, NS-398 能显著抑

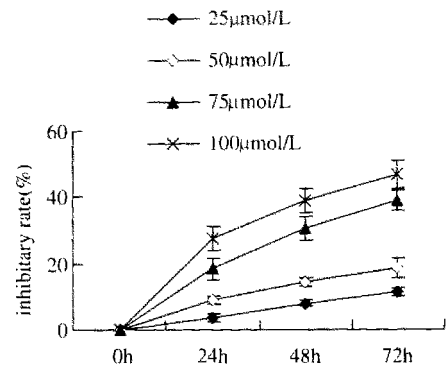


图 1 NS-398 对 SMMC-7721 细胞生长的抑制作用

制 SMMC-7721 细胞 COX-2 基因和蛋白表达, 并呈显著的剂量和时间依赖性关系 ($P < 0.001$)。

2.3 NS-398 对 SMMC-7721 细胞 VEGF、MMP-9 表达的影响

NS-398 能显著抑制 SMMC-7721 细胞 VEGF、MMP-9 基因和蛋白表达, 并呈显著的剂量和时间依赖性关系 ($P < 0.001$), 见表 1、2。

表 1 NS-398 对 SMMC-7721 细胞 COX-2、VEGF、MMP-9 蛋白表达的影响 ($\bar{x} \pm s$)

Time (h)	Concentration (μ mol/L)	FI value		
		COX-2	MMP-9	VEGF
24	0	1.0012 \pm 0.0155	1.0005 \pm 0.0028	1.0012 \pm 0.0125
	25	0.9063 \pm 0.0257	0.9559 \pm 0.0041	0.8805 \pm 0.0149
	50	0.8257 \pm 0.0096	0.9059 \pm 0.0058	0.7773 \pm 0.0212
	75	0.7442 \pm 0.0202	0.8452 \pm 0.0035	0.6661 \pm 0.0202
	100	0.4024 \pm 0.0226	0.7192 \pm 0.0070	0.4282 \pm 0.0030
48	0	0.9969 \pm 0.0228	0.9986 \pm 0.0036	1.0024 \pm 0.0196
	25	0.6339 \pm 0.0245	0.8918 \pm 0.0050	0.6972 \pm 0.0122
	50	0.4731 \pm 0.0143	0.8089 \pm 0.0104	0.5835 \pm 0.0132
	75	0.3656 \pm 0.0401	0.6719 \pm 0.0081	0.4067 \pm 0.0227
	100	0.1981 \pm 0.0593	0.5888 \pm 0.0102	0.2893 \pm 0.0176
72	0	1.0018 \pm 0.0223	1.0009 \pm 0.0045	0.9964 \pm 0.0261
	25	0.3675 \pm 0.0180	0.8190 \pm 0.0038	0.5587 \pm 0.0112
	50	0.2879 \pm 0.0125	0.7512 \pm 0.0128	0.3323 \pm 0.0232
	75	0.1964 \pm 0.0188	0.6758 \pm 0.0098	0.2615 \pm 0.0266
	100	0.0525 \pm 0.0200	0.4298 \pm 0.0127	0.0683 \pm 0.0203

3 讨论

COX-2 新近被证实具有促进肿瘤生长作用, 可影响肿瘤细胞增殖、分化和凋亡, 最近还发现 COX-2 可通过刺激肿瘤血管生成、促进细胞侵袭和转移能力来促进肿瘤发生和发展。血管生成是肿瘤发生、发展过程中的重要步骤, 与肿瘤的生物行为及预后有关。VEGF 是肿瘤血管生成和侵袭转移过程中的关键因素, 其通过特异性受体 Flk-1、Flt-1 和 Flt-4 选择性作用于内皮细胞发挥作用。MMP-9 是

表 2 NS-398 对 SMMC-7721 细胞 COX-2、VEGF、MMP-9 mRNA 表达的影响($\bar{x} \pm s$)

Time (h)	Concentration ($\mu\text{mol/L}$)	OD value		
		COX-2	MMP-9	VEGF
24	0	1.0623 \pm 0.0613	1.0074 \pm 0.0099	1.0820 \pm 0.0784
	25	0.8111 \pm 0.0167	0.9461 \pm 0.0082	0.8007 \pm 0.0557
	50	0.7033 \pm 0.0276	0.8794 \pm 0.0082	0.6900 \pm 0.0347
	75	0.5259 \pm 0.0124	0.8104 \pm 0.0232	0.5009 \pm 0.0487
	100	0.3522 \pm 0.0593	0.7444 \pm 0.0105	0.6852 \pm 0.0593
48	0	1.0777 \pm 0.0675	1.0006 \pm 0.0093	1.0591 \pm 0.1026
	25	0.7149 \pm 0.0271	0.8647 \pm 0.0127	0.7364 \pm 0.0459
	50	0.5942 \pm 0.0942	0.8022 \pm 0.0148	0.5942 \pm 0.0942
	75	0.4577 \pm 0.0366	0.7310 \pm 0.0179	0.4577 \pm 0.0366
	100	0.2928 \pm 0.0466	0.6606 \pm 0.0314	0.2928 \pm 0.0466
72	0	1.0686 \pm 0.0614	1.0086 \pm 0.0090	1.0686 \pm 0.0614
	25	0.5777 \pm 0.0432	0.6208 \pm 0.0022	0.5777 \pm 0.0432
	50	0.4706 \pm 0.0251	0.5845 \pm 0.0038	0.4706 \pm 0.0251
	75	0.3395 \pm 0.0123	0.5699 \pm 0.0080	0.3529 \pm 0.0286
	100	0.1866 \pm 0.0442	0.4369 \pm 0.0551	0.2253 \pm 0.0632

基质金属蛋白酶家族中的重要成员,其过度表达与肝细胞癌血管生成和侵袭转移密切相关。

已有研究表明 COX-2 在肝细胞癌中高表达,但对 COX-2 与肿瘤血管生成的研究较少。Tsuji 等^[1]研究发现,转染 COX-2 基因可以使培养的结肠癌细胞株在过度表达 COX-2 的同时,促使 VEGF、TGF- β 和 bFGF 等肿瘤血管生成因子的分泌,并促进联合培养的人脐静脉内皮细胞株在 I 型胶原凝胶中增殖、变形、向肿瘤细胞迁移和形成网状的内皮细胞索。Liu 等^[4]进一步进行体内研究,结果显示选择性 COX-2 抑制剂能显著抑制前列腺癌血管生成。Tsuji 等^[5]将 COX-2 基因转染入人结肠癌细胞株,发现该转染细胞具有更强的侵袭能力,同时可以被 COX-2 选择性抑制剂阻断。进一步研究发现,这种侵袭能力的增强与 MMP-2 的活化及 MMP-1 的表达增加有关。以前实验已证实肝细胞癌组织中 COX-2 与 VEGF、MMP-9 和 MVD 表达之间存在着

正相关,本研究结果显示 COX-2 特异性抑制剂 NS-398 可以显著降低肝癌 SMMC-7721 细胞株 VEGF 基因和蛋白的表达水平,进一步表明在肝细胞癌 COX-2 可通过上调 VEGF 与 MMP-9 表达水平来促进肿瘤血管生成和侵袭。

肿瘤细胞、巨噬细胞及血管内皮细胞在细胞因子诱导下,可上调 COX-2 表达^[6],增加的 PGEs 与 PGE 受体结合,通过 EP/cAMP 等途径激活各种胞内激酶,与核内受体 PPAR 等结合后作用于或直接作用于 VEGF、MMP-9 基因^[7],诱导 VEGF、MMP-9 表达水平上调,但具体机制尚有待于进一步研究。

参考文献:

- [1] Tsujii M, Kawano S, Tsuji S, et al. Cyclooxygenase regulates angiogenesis induced by colon cancer cells[J]. Cell, 1998, 93(5):705-716.
- [2] Tsujii M, DuBois RN. Alterations in cellular adhesion and apoptosis in epithelial cells overexpressing prostaglandin endoperoxide synthase 2[J]. Cell, 1995, 83(3):493-501.
- [3] 彭利,左连富,王顺祥,等. 肝癌组织中 COX-2、VEGF、MMP-2、MMP-9 的表达及相互关系的免疫组织化学研究[J]. 实用肿瘤杂志, 2005, 20(2):134-136.
- [4] Liu XH, Kirschenbaum A, Yao S, et al. Inhibition of cyclooxygenase-2 suppresses angiogenesis and the growth of prostate cancer in vivo[J]. J Urol, 2000, 164(3 pt 1):820-825.
- [5] Tsujii M, Kawano S, DuBois RN. Cyclooxygenase-2 expression in human colon cancer cells increases metastatic potential[J]. Proc Natl Acad Sci, 1997, 94(7):3336-3340.
- [6] Mestre JR, Mackrell PJ, Rivadeneira DE, et al. Redundancy in the signaling pathways and promoter elements regulating cyclooxygenase-2 gene expression in endotoxin-treated macrophage/monocytic cells[J]. J Biol Chem, 2001, 276(6):3977-3982.
- [7] Bamba H, Ota S, Kato A, et al. Prostaglandins up-regulate vascular endothelial growth factor production through distinct pathways in differentiated U937 cells[J]. Biochem Biophys Res Commun, 2000, 273(2):485-491.

[编辑:贺文]